

# تأثیر نوع سیستم باربر جانبی در عملکرد لرزه‌بی قاب‌های فولادی ویژه تحت خرابی پیش‌روندۀ

حمیدرضا توکلی\* (استادیار)

علی رشیدی آلاشتی (کارشناس ارشد)

دانشکده‌ی هندسی عمران، دانشگاه صنعتی نوشیروانی بافق

سوده اکبرپور (دانشجوی دکتری)

دانشکده‌ی هندسی عمران، دانشگاه کردستان

مهمشی عمان شرف، (زمستان ۱۳۹۴)، دوری ۲ - ۱، شماره ۲ / ۳، ص. ۱۰ - ۱۵، (پادشاهت فقی)

خرابی پیش‌روندۀ وضعیتی است که در آن بروز یک خرابی موضعی در یک عضو سازه‌یی منجر به شکست اعضاء مجاور آن و فروریزش‌های اضافی در ساختمان می‌شود. هرگونه ضعف در طراحی یا اجرای المان‌های سازه‌یی ممکن است باعث بموجود‌آمدن پدیده‌ی خرابی پیش‌روندۀ در سازه‌ها حین بارگذاری افجار یا لرزه‌یی شود. لذا مدل‌کردن پاسخ ساختمان‌ها در برابر خرابی پیش‌روندۀ، نظر پژوهشگران بسیاری را در دو دهه‌ی گذشته به خود جلب کرده است و تلاش‌هایی برای توسعه‌ی روش‌های تحلیل و طراحی در برابر این پدیده‌ی صورت گرفته است. در این نوشتار به منظور تحقیق این‌یعنی لرزه‌یی، با استفاده از تحلیل دینامیکی غیرخطی، تغییرمکان جانی نسبی طبقات، چرخش و روند توزیع مفاصل خمیری در تیوها و ستون‌ها در قاب‌های خمیری فولادی سالم و آسیب‌دیده با سیستم‌های باربر جانی گوناگون تحت خرابی پیش‌روندۀ مورد ارزیابی قرار گرفته است. با بررسی پاسخ سازه ملاحظه می‌شود عملکرد لرزه‌یی سازه‌ها اساساً وابسته به موقعیت حذف ستون و نوع سیستم باربر جانی است و نشان از برتری سیستم قاب خمیری ویژه به همراه مهاربند برون محور دارد. نتایج حاصل بینش بهتری را برای درک تأثیر نوع سیستم باربر جانی در پاسخ دینامیکی و این‌یعنی لرزه‌یی قاب‌های فولادی ویژه تحت خرابی پیش‌روندۀ به دست می‌دهد و بیان می‌کند که در هنگام ایجاد خرابی موضعی در طبقه‌ی پایینی سیستم‌های فولادی طراحی شده براساس الزامات ویژه‌ی لرزه‌یی، پتانسیل ایجاد خرابی پیش‌روندۀ وجود ندارد.

tavakoli@nit.ac.ir  
a.rashidi@stu.nit.ac.ir  
sudeh.omran84@yahoo.com

وازگان کلیدی: خرابی پیش‌روندۀ، قاب فولادی ویژه، سیستم باربر جانی، این‌یعنی لرزه‌یی، تحلیل دینامیکی غیرخطی.

## ۱. مقدمه

باربر منجر می‌شود و ممکن است که باعث خرابی اعضاء سازه‌یی بیشتری شود. مشناهده‌ی خسارت‌های زلزله در زمین‌لرزه‌های گذشته نشان می‌دهد که بارگذاری لرزه‌یی می‌تواند سبب خسارت‌هایی در المان‌های سازه‌یی شود و متعاقب آن، خرابی اولیه‌ی المان‌های سازه‌یی می‌تواند منجر به گسترش خسارت به دیگر اعضاء باربر شود.<sup>[۱]</sup> در آین نامه‌های موجود ساختمانی، طراحی سازه‌ها برای بارهای قابل قبولی است که ممکن است در طول عمر سازه بر آن وارد شود و سازه‌ها را معمولاً برای حوادث غیرطبیعی، که می‌توانند موجب خرابی‌های فراگیر شوند، طراحی نمی‌کنند. بیشتر آین نامه‌های رایج فقط توصیه‌های کلی برای تعديل تأثیرگسیختگی پیش‌روندۀ در سازه‌هایی را دارند که فراتر از بارهای طراحی‌شان بارگذاری می‌شوند. بنابراین، این پدیده می‌تواند برای سازه‌های طراحی شده براساس آین نامه‌های جاری، حین رخداد زلزله‌های شدید مشکلاتی را به وجود آورد و حتی منجر به ویرانی کل سازه

ایمیتی سازه همواره تمايل کلیدی برای مهندسان طراح پروژه‌های مهندسی بوده است. یکی از مکانیزم‌های خرابی سازه که توجه زیادی را در دهه‌های اخیر به خود اختصاص داده است، خرابی پیش‌روندۀ است. یک یا چند عضو سازه‌یی به دلیل تصادف یا افجار ناگهان خراب می‌شوند و هر بار توزیع باری باعث خرابی دیگر المان‌های سازه‌یی می‌شود و ساختمان به طور پیش‌روندۀ منهدم می‌شود.<sup>[۲]</sup> خرابی پیش‌روندۀ می‌تواند به دلیل خططای مانند: انفجار، ضربه‌ی اتمبیل، آتش‌سوزی، ... و یا خطرات طبیعی چون زلزله باشد. نیروی زلزله می‌تواند نیروهای جانی و تشن‌های قابل توجهی را در سازه ایجاد کند. تأثیر این بار می‌تواند اعضاء سازه‌یی را بیش از حد بارگذاری کند، که درنهایت به از دست رفتن یک یا چند عضو

\* نویسنده مسئول

تاریخ: دریافت ۱۲/۷/۱۳۹۲، اصلاحیه ۲۱/۱۱، پذیرش ۲/۲/۱۳۹۳.

جانبی مطالعه و سپس با بررسی معیارهای پذیرش مشخص شد که سیستم قاب خمیشی فولادی طراحی شده براساس آین نامه‌ی لرزه‌یی، سیستم مقاوم در برابر خرابی پیش‌روند است.<sup>[۱]</sup> امروزه در ساختمان‌های فولادی جهت مقابله با نیروهای جانبی استفاده از سیستم‌های باربر لرزه‌یی امری اختناب‌پذیر است. به طور کلی در سیستم‌های باربر استفاده از مهاربندها جهت تأمین پایداری جانبی و سختی مناسب، امری الرامی است. بدین‌منظور در این پژوهش عملکرد لرزه‌یی ساختمان‌های فولادی با سیستم‌های مختلف باربر جانبی تحت خرابی پیش‌روند مورد بررسی قرار گرفته است. این ارزیابی از طریق تحلیل دینامیکی غیرخطی و با استفاده از نرم‌افزار ۳D PERFORM در مدل‌های سه بعدی تحت حالات با خرابی موضعی و بدون خرابی موضعی انجام شده است. نتایج استخراج شده از این تحلیل‌ها شامل تغییرمکان جانبی نسبی طبقات، دوران، و نحوه تشکیل مفاصل خمیری اعضاء است. این نتایج با معیارهای پذیرش مقایسه شده و تأثیر سیستم مهاربندی مختلف در حفظ سطح عملکرد قاب‌های آسیب‌دیده تحت خرابی پیش‌روند مورد ارزیابی قرار گرفته است.

## ۲. مشخصات سازه

ساختمان‌های مورد مطالعه در این پژوهش، ۵ و ۱۵ طبقه با ۴ دهانه‌ی ۵ متری در نظر گرفته شده‌اند. این سازه‌ها دارای اسکلت فلزی، با ۳ سیستم باربر جانبی از نوع قاب خمیشی ویژه، سیستم دوگانه قاب خمیشی ویژه با مهاربند ضربدری و سیستم دوگانه قاب خمیشی ویژه با مهاربند برون‌محور بوده‌اند. طراحی کشسان سازه‌ها براساس روش تنش مجاز مبحث دهم مقررات ملی انجام شده است.<sup>[۱۰]</sup> ساختمان‌ها از نوع مسکونی با اهمیت متوسط فرض شده و منطقه مورد مطالعه با لرزه‌خیزی زیاد و خاک از نوع III در نظر گرفته شده است.<sup>[۱۱]</sup> ارتفاع طبقات یکسان و برابر  $3/3$  متر، و تمامی اتصالات و تکیه‌گاه‌ها صلب فرض شده و سیستم سقف از نوع دال بتنی با عملکرد دو طرفه بوده است. بارگذاری ثقلی براساس مبحث ششم مقررات ملی ایران انجام شده است. بار مرده‌ی ناشی از سقف و پارچیشن داخلی برای طبقات ( $\text{Kg}/\text{cm}^2$ ) ۵۰۰ و بار زنده‌ی وارد بر سطح برای طبقات برابر با ( $\text{Kg}/\text{cm}^2$ ) ۲۰۰ در نظر گرفته شده است. برای محاسبه‌ی وزن هر طبقه در هنگام زلزله، کل بار مرده و  $20\%$  از بار زنده لحاظ شده است. مقاطع مورد استفاده در تیرهای از نوع مقاطع آمریکایی W و ستون‌ها از نوع Box بوده است. برای تیر و ستون از فولاد ST $37$  با کمینه‌ی تنش تسلیم ( $\text{Kg}/\text{cm}^2$ )  $F_y = 240$  استفاده شده است. پلان ساختمان، موقعیت قارگیری بادیندها و مشخصات اجزاء سازه‌یی در پیوست ارائه شده و کلیه‌ی بررسی‌های انجام شده در حالت سه بعدی بوده است.

## ۳. معرفی نرم‌افزار ۳D PERFORM

این نرم‌افزار اجازه‌ی طراحی براساس تغییرشکل را می‌دهد و توانایی زیادی برای تحلیل‌های غیرکشسان دارد، اما توانایی به طراحی از طریق تحلیل همچنین ابزاری توانمند به منظور ارزیابی عملکرد یک سازه است. راهبرد تحلیل غیرخطی در این نرم‌افزار بسیار قابل اعتماد است، و حتی وقتی که مؤلفه‌های غیرکشسان سختی منفی داشته باشند، اثرات  $\Delta - P$  سبب ناپایداری سازه می‌شوند.<sup>[۱۲]</sup> در نرم‌افزار ۳D PERFORM برای مدل‌سازی تیرها، ستون‌ها و

شود. به عبارت دیگر، هر نوع ضعف در طراحی و یا اجرای المان‌های سازه‌یی ممکن است باعث به وجود آمدن پدیده‌ی خرابی پیش‌روند در سازه‌ها می‌شود. لذا مطالعه و بررسی تأثیر این پدیده در سازه‌ها ضروری به نظر می‌رسد. هدف اصلی این نوشتار کنترل عملکرد سازه‌های فولادی طراحی شده براساس استانداردهای معتبر و الزامات لرزه‌یی برای مقابله با خرابی پیش‌روند در اثر بار زلزله است. در پژوهشی در سال ۲۰۰۸، ظرفیت مقاوم در برابر خرابی پیش‌روند در قاب‌های خمیشی فولادی مورد بررسی قرار گرفته و روش‌های تحلیلی استاتیکی و دینامیکی خطی و غیرخطی بر طبق آئین نامه‌های GSA ۲۰۰۳ و DOD ۲۰۰۹ برای مقایسه ارائه شده است. با مقایسه نتایج تحلیل‌ها، این نتیجه به دست آمد که تحلیل دینامیکی غیرخطی، ابزاری دقیق برای ارزیابی پتانسیل خرابی پیش‌روند در سازه‌های ساختمانی است.<sup>[۱۳]</sup> همچنین در پژوهش دیگری در سال ۲۰۰۹، به مطالعه‌ی عملکرد لرزه‌یی و خرابی پیش‌روندی قاب‌های فولادی با ۳ نوع اتصال لرزه‌یی پرداخته شده است. براساس نتایج تحلیل لرزه‌یی، تفاوت کمی در نوع اتصالات مشاهده شده است، ولی پتانسیل خرابی پیش‌روندی سازه‌های طراحی شده برای لرزه‌خیزی متوسط به طور قابل توجهی با نوع اتصال تغییر کرده و سازه‌های طراحی شده برای لرزه‌خیزی بالا در مقابل خرابی پیش‌رونده اینم تبدیل نمودند.<sup>[۱۴]</sup> پژوهشگران دیگری نیز در همان سال، اثر عملکرد زنجیره‌وار در پتانسیل خرابی پیش‌روند در ساختمان‌های فولادی با قاب خمیشی را بررسی کردند و تحلیل‌های دینامیکی و استاتیکی غیرخطی در مدل‌های ۳ و ۶ طبقه با مهاربند و بدون مهاربند با استفاده از روش APM پیشنهادشده توسط راهنمای GSA ۲۰۰۳ مهاربندی را کاهش دادند.<sup>[۱۵]</sup> همچنین در پژوهش دیگری در سال ۲۰۱۰ اثرات راهبردهای مختلف بهسازی در کاهش خرابی پیش‌رونده در قاب‌های فولادی حرکات جانبی را کاهش دادند.<sup>[۱۶]</sup> اثرات زنجیره‌وار همانند تعداد طبقات، دهانه‌ها و مهاربندی‌های اضافی انجام دادند، و اثرات زنجیره‌وار در همان سال، اثر عملکرد زنجیره‌وار در پتانسیل خرابی پیش‌روند در ساختمان‌های فولادی با استفاده از روش APM پیشنهادشده توسط GSA ۲۰۰۹ مورد بررسی قرار گرفت و مشخص شد که نوع بارگذاری در پتانسیل و DOD ایجاد خرابی پیش‌رونده تأثیرگذار است، به طوری که همه‌ی سازاریوهای حذف ستون مهاربندی با اینهادم ساختمان شده است، ولی برای بارگذاری براساس DOD منتج به اینهادم ساختمان شده است. براساس GSA ۲۰۱۱ این اتفاقی نیتفاذه است.<sup>[۱۷]</sup> در پژوهش دیگری در سال ۲۰۱۱ نیز به طراحی قاب‌های فولادی باربر لرزه‌یی در برابر خرابی پیش‌رونده با استفاده از روش APM و راهنمای ۹۰۰۹ UFC پرداخته شده است. تحلیل‌های استاتیکی خطي، استاتیکی غیرخطی و دینامیکی غیرخطی انجام و مشخص شده است که استفاده از روش استاتیکی خطی منجر به پاسخ‌های محافظه‌کارانه می‌شود. ولی بیان شده است که اگرچه استفاده از روش‌های استاتیکی و دینامیکی غیرخطی منجر به پاسخ‌های اقتصادی تری می‌شوند، محاسبات پیچیده‌تری دارند. این پژوهش برای قاب‌های دو بعدی انجام شده است، ولی بنا به نظر پژوهشگر برای رسیدن به نتایج واقعی تر باید از مدل‌های سه بعدی استفاده کرد.<sup>[۱۸]</sup> برخی پژوهشگران نیز در پژوهش خود در سال ۲۰۱۳، روشی جدید برای شبیه‌سازی حذف دینامیکی ستون در سیستم‌های قابی ارائه کردند و با استفاده از روش مذکور پاسخ سازه‌یی یک قاب ساختمانی فولادی در سازاریوهای گوناگون حذف ستون سنجیده شده است. تأثیرات غیرخطی مصالح و هندسی در تحلیل‌ها لحاظ و تمرکز ویژه‌یی برای تخمین غیرمکان قائم نقطه‌ی حذف ستون صورت گرفته و مشخص شده است که پتانسیل خرابی پیش‌رونده اساساً بستگی به موقعیت حذف ستون دارد. روش پیشنهادی مذکور، امکاناتی چون سهولت محاسباتی و عملی بودن را برای شبیه‌سازی حذف دینامیکی ستون در سازه‌های قابی ارائه داده است.<sup>[۱۹]</sup> همچنین در پژوهش دیگری در همان سال، پتانسیل خرابی پیش‌رونده در قاب‌های خمیشی فولادی تحت بارهای

جدول ۱. مشخصات شتاب‌نگاشت‌های مورد استفاده.

شماره	نام شتاب‌نگاشت	نوع خاک	فاصله از گسل (Km)	نام ایستگاه	PGA(y).g	PGA(x).g
۱	Imperial Valley	D	۳,۸	El Centro	۰,۲۱۵	۰,۳۱۳
۲	Northridge	D	۱۳	Canyon	۰,۴۸۲	۰,۴۱
۳	Tabas	C	۳	Tabas	۰,۸۵۲	۰,۸۳۶

تجاوز کرده باشند. بنابراین تحلیل دینامیکی غیرخطی به عنوان روشی دقیق مدنظر قرار گرفته است.

#### ۱.۴. معرفی شتاب‌نگاشت‌ها

در این پژوهش جهت انجام تحلیل‌ها از ۳ شتاب‌نگاشت نزدیک گسل به عنوان رکورد زلزله‌های مورد نیاز در تحلیل تاریخچه‌ی زمانی غیرخطی استفاده شده است. شتاب‌نگاشت‌ها طبق روش متدرج در استاندارد ۲۸۰۰<sup>[۱۰]</sup> مقیاس شده و نتایج تحلیل‌ها با استفاده از بیشینه‌ی مقدار ۳ شتاب‌نگاشت مقیاس شده در جدول ۱ ارائه شده است.<sup>[۱۱]</sup>

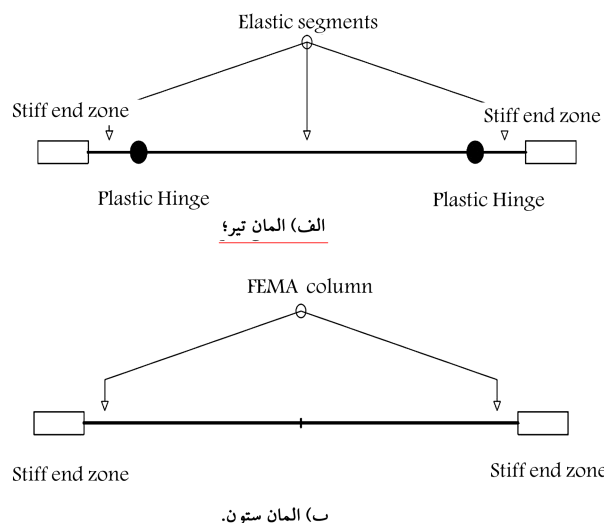
#### ۲.۴. نحوی اعمال بارگذاری جهت تحلیل دینامیکی سازه تحت خرابی پیش‌روند

در تحلیل دینامیکی غیرخطی ابتدا ترکیب بار  $D_L + ۰,۲۵L_L$  طبق آینه‌نامه GSA به کل دهنه‌های سازه و در مرحله‌ی بعد، با حذف یکی از ستون‌های دلخواه در طبقه‌ی همکفت براساس روش APM با ثابت نگه‌داشتن ترکیب بار ثقلی  $D_L + ۰,۲۵L_L$ ، شتاب‌نگاشت مقیاس شده به سازه اعمال شده است. نسبت میرایی در نظر گرفته شده در این بررسی ۵۰° بوده است.<sup>[۱۲]</sup>

#### ۳. ارزیابی لرزه‌ی

##### ۳.۱. طراحی براساس سطح عملکرد

مبحث جدیدی که از چند سال گذشته به طور جدی در نقاط مختلف دنیا آغاز شده و به سرعت در حال تکامل است، طراحی لرزه‌ی براساس عملکرد سازه است. طراحی بر پایه‌ی عملکرد، یک فلسفه‌ی طراحی عمومی‌تر دارد، به نحوی که معیارهای طراحی بر حسب پارامترهایی مطرح می‌شود که بیان‌گر عملکرد سازه در برابر زلزله هستند. در این روش سعی بر آن است که سازه‌ی طراحی شده در یک منطقه با سطح لرزه‌خیزی خاص، قابلیت رسیدن به عملکرد موردن انتظار طراح را در زلزله‌ی طرح داشته باشد. در این نوشتار از دستورالعمل FEMA ۳۵۶ در زمینه‌ی طراحی لرزه‌ی براساس عملکرد استفاده شده است. در بسیاری از روش‌های طراحی عملکردی سازه‌ها تلاش شده است تا خرابی ایجاد شده در سازه‌ها مستقیماً در روند طراحی کنترل شوند. یک سطح عملکردی نشان‌دهنده بیشینه‌ی خرابی موردن انتظار سازه است، به طوری که اگر خرابی از این حد افزایش پیدا کند، سطح عملکرد سازه تغییر پیدا خواهد کرد. در این راستا به بررسی تأثیر خرابی پیش‌روند در اینهای لرزه‌ی سازه‌ها براساس سطح عملکرد پرداخته شده است. معیارهای عملکردی سازه می‌توانند از طریق ایجاد احتمال ایجاد خرابی پیش‌روند در نظر گرفته شود. همچنین انتظار می‌رود که رفتار غیرخطی سازه به طور قابل ملاحظه‌ی رفتار سازه را تحت تأثیر قرار دهد، زیرا قبل از رسیدن به شرایط انهدام، یک سازه و مؤلفه‌هایش باید از حد کشسان



شکل ۱. المان تیر و ستون بدکارگرفته در مدل‌سازی.

بادینه‌ها از المان Frame استفاده می‌شود. هر المان متشکل از چندین مؤلفه است، و مؤلفه‌های تشکیل‌دهنده المان‌های تیر و ستون در شکل ۱ ارائه شده است.

مطابق شکل ۱، مؤلفه‌های FEMA در این پژوهش بخش کلیدی در مدل‌سازی المان ستون با طول محدود و خواص غیرخطی هستند. مدل دارای ۲ مؤلفه از این نوع است. مدل chord rotation محدودیت‌هایی دارد که فقط برای تیرها و ستون‌های متقاضی مقاومت یکسان و نقطه‌ی عطف در وسط دهنه به کار می‌رود. اما PERFORM به کاربران اجازه می‌دهد تا مقاومت‌های مختلف در دو مؤلفه داشته باشند و نیز برای حالتی که نقطه‌ی عطف در وسط نیست، طول‌های مختلف برای دو مؤلفه در نظر گرفته شود. در المان تیر نیز از مدل لولاهای غیرخطی متمرکز به صورت Simple Bar استفاده شده است. این مدل شده اند. جهت مدل‌سازی بادینه‌ها نیز لولاهای صلب خمیری مدل شده اند. جهت مدل‌سازی بادینه‌ها نیز از المان استفاده شده است، که فقط قادر به تحمل بارهای محوری است. مشخصات این مقاطع با استفاده از جدول ۵-۶، FEMA ۳۵۶ تعریف شده‌اند.<sup>[۱۳]</sup>

#### ۴. تحلیل به روش دینامیکی تاریخچه‌ی زمانی

زمانی که یک سازه تحت خرابی موضعی در معرض زلزله قرار می‌گیرد، پاسخ سازه از طبق اثرات دینامیکی تأثیر می‌پذیرد. بنابراین لازم است که رفتار دینامیکی سازه در تحلیل سازه و احتمال ایجاد خرابی پیش‌روند در نظر گرفته شود. همچنین انتظار می‌رود که رفتار غیرخطی سازه به طور قابل ملاحظه‌ی رفتار سازه را تحت تأثیر قرار دهد، زیرا قبل از رسیدن به شرایط انهدام، یک سازه و مؤلفه‌هایش باید از حد کشسان

## ۲.۵. تغییر مکان جانبی نسبی

کترل تغییر مکان نسبی طبقات به عنوان روشی جهت بررسی عملکرد سازه ها تحت بار جانبی همواره مورد توجه بوده است. برای کنترل تغییر شکل های جانبی، از مفهوم تغییر مکان جانبی نسبی طبقه استفاده شده است. بدین منظور تغییر مکان نسبی طبقه های سازه ها در لحظه ای رویداد بیشینه ای جایه جایی با مامحاسبه و با مقادیر حدی مقایسه شده است (رابطه ۱). مقادیر حدی مجاز براساس سطح عملکرد در FEMA ۳۵۶ در جدول ۲ ارائه شده است. این مقادیر فقط برای ارزیابی کیفی رفتار تقریبی سازه ها در سطح عملکرد مورد نظر بوده است.

$$\text{story Drift} = \frac{\Delta_{n+1} - \Delta_n}{h} \quad (1)$$

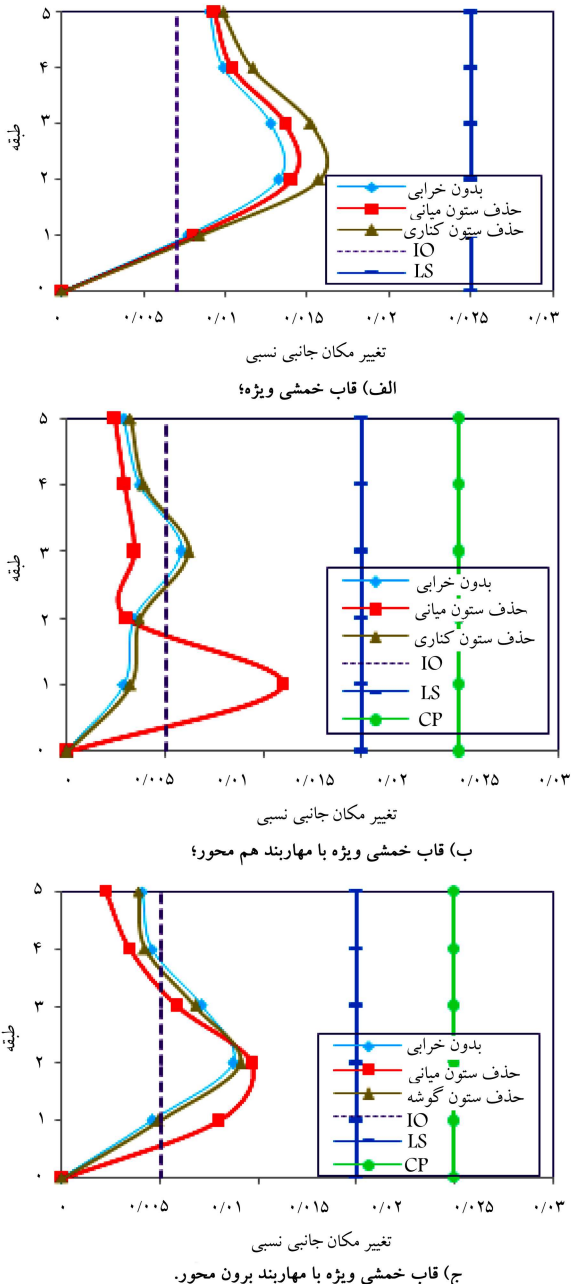
که در آن، Drift تغییر مکان نسبی جانبی؛  $\Delta_n$  تغییر مکان طبقه  $n$  در نقطه ای عملکرد (لحظه ای رویداد بیشینه ای جایه جایی بام)؛  $h$  ارتفاع طبقه است. در این بخش نمودارهای تغییر مکان جانبی نسبی طبقات برای قاب ۵ طبقه در حالات بدون خرابی موضعی و با خرابی موضعی (خرابی ستون میانی و خرابی ستون گوش) نشان داده شده است (شکل ۲). این تذکر لازم است که طراحی قاب های مورد بررسی در این نوشتار براساس سطح عملکرد اینمی جانبی (LS) بوده است. مطابق شکل ۲ مشاهده می شود که در سازه با سیستم قاب خمشی ویژه، حذف ستون کناری تأثیر بیشتری در افزایش تغییر مکان نسبی طبقات نسبت به حذف ستون میانی دارد. در حالی که در سازه های ۵ طبقه با مهاربند بروون محور هم محور مشاهده می شود که حذف ستون میانی با مهاربند های متصل به آن باعث افزایش زیادی در تغییر مکان نسبی در طبقات پایین شده است، که این افزایش در سازه های آسیب دیده با مهاربند هم محور چشم گیر است. اما در طبقات بالایی تفاوت چندانی با سازه های سالم مشاهده نمی شود و حتی مقادیر ناچیزی کا هش مشاهده می شود. بنابراین در سازه با مهاربند ضربه ای، حذف ستون میانی و مهاربند های مجاور تأثیر شدیدی در افزایش تغییر مکان نسبی طبقه ای اول دارد و سناریوی کا هش تغییر مکان نسبی در طبقات بعدی همچنان ادامه دارد. بنابراین نتایج حاکی از آن است که سیستم با مهاربند بروون محور رفتار مناسب تری را نسبت به سیستم با مهاربند هم محوری در هنگام ایجاد خسارت به خصوص در ستون های متصل به مهاربند از خود نشان می دهد. مشخص است که حذف ستون متصل به مهاربند، که منجر به حذف المان های قطری باشد می شود، تأثیر قابل ملاحظه بی در ایجاد ضعف در سازه دارد، که در مورد سازه های با مهاربند ضربه ای این امر بازتر است.

## ۳.۵. بررسی وضعیت مفاصل

بکی دیگر از معیارهای عملکردی سازه می تواند توسط وضعیت مفاصل تشکیل شده در اعضاء سازه بی مطرح شود. همچنین معیارهای پذیرش متفاوتی نیز جهت حالت

جدول ۲. مقادیر مجاز تغییر مکان نسبی در سطوح مختلف عملکرد.<sup>[۱۳]</sup>

سطح عملکرد	استفاده ای	آستانه ای	استفاده ای	آستانه ای
(CP)	(LS)	(IO)	بی وقفه	جانبی
قاب بتی	۰/۰۴	۰/۰۲	۰/۰۱	
قاب فولادی	۰/۰۵	۰/۰۲۵	۰/۰۰۷	
قاب فولادی مهاربندی شده	۰/۰۲	۰/۰۱۵	۰/۰۰۵	



شکل ۲. بیشینه ای تغییر مکان جانبی نسبی تراز طبقات قاب فولادی ۵ طبقه با سیستم های بار بار جانبی مختلف.

حدی ایجاد خرابی پیش رونده ارائه شده است، که مهم ترین آنها بیشینه ای دوران مفاصل خمیری است. جدول ۳، این معیارهای پذیرش تحلیل غیرخطی را براساس راهنمای GSA ۲۰۰۳ و UFC ۲۰۰۹ نشان می دهد. زمانی که تمام تیرها و یا ستون های واقع در درهانه بی که ستون زیر آن حذف شده است، از معیارهای فوق تجاوز کند، سازه هی موردنظر به عنوان سازه بی با پتانسیل ایجاد خرابی پیش رونده شناخته خواهد شد و باید در طراحی تجدیدنظر کرد.

همان طور که اشاره شده است، راهنمای UFC ۲۰۰۹ سطح عملکرد آستانه ای فروریزش (CP) را برای تیرها در دهانه هایی که المان قائم آن از دست رفته است، به عنوان حالت حدی دوران لولا استفاده می کند، اگر این المان ها از این حد

بیشینه‌ی دوران‌ها، به ارائه‌ی تغییرات سطوح عملکرد در المان‌ها در اثر ایجاد یک خرابی موضعی و دامنه‌ی تأثیرگذاری آن در کل سازه منجر خواهد شد. بررسی شکل‌گیری لولاها نشان از آن دارد که پس از حذف ستون میانی به تعداد لولاها با سطح عملکرد ایمنی جانی (LS) در تیرها افزوده می‌شود. لکن هیچ لولایی با سطح عملکرد آستانه‌ی فروریزش شکل‌نمی‌گیرد، که این امر بیان‌گر مقاومت بالای سازه‌های فولادی با سیستم قاب خمشی ویژه در مقابله با اثرات سوء ایجاد یک خرابی موضعی و گسترش آن در هنگام وقوع زلزله است. همچنین مشخص است که هیچ لولایی در ستون‌ها شکل نگرفته است.

شکل ۴ نشان می‌دهد که افزایش تعداد لولاها با سطح عملکرد LS در دهانه‌ی ستون زیر آن برداشته شده است، در مدل‌های کوتاه‌تر نسبت به تعداد لولاها بیکار که در حالت بدون خرابی موضعی شکل‌گرفته است، بیشتر است. بنابراین می‌توان نتیجه‌گیری کرد که با افزایش تعداد طبقات، حساسیت سازه به از دست رفتن یک عضو کاهش یافته و سازه در برابر ایجاد خرابی پیش‌رونده مقاوم‌تر شده است. شکل ۵، درصد لولاها شکل‌گرفته با سطح عملکرد IO و LS در تیر و ستون قاب پیرامونی مدل‌های سه بعدی را نشان می‌دهد. مشخص است که با افزایش

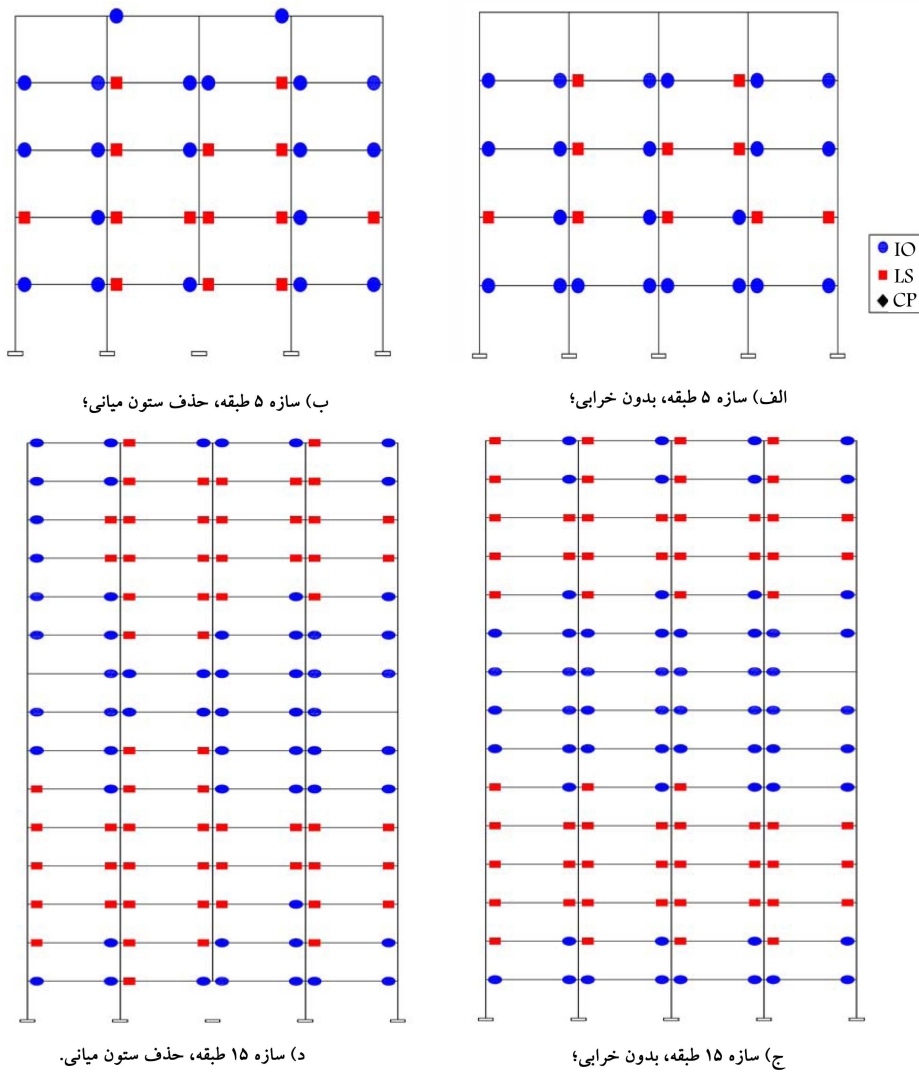
تجاوز کنند و یک مکانیزم خربی را در این دهانه شکل دهند، سازه پتانسیل بالایی برای ایجاد خرابی پیش‌رونده دارد. به همین دلیل عملکرد لولاها در بیشینه‌ی تغییرمکان جانبی بررسی و با معیار پذیرش خرابی پیش‌رونده مقایسه شده است.

### ۱.۳.۵. مقایسه‌ی سطح عملکرد لولاها خیری

در این قسمت بیشینه‌ی دورانی را که لولاها پلاستیک قاب پیرامونی مدل‌های سه بعدی در طول تاریخچه‌ی زمانی اعمال بار لرزه‌یی تجربه می‌کنند، در شکل ۳ نمایش داده شده است. گرچه برای قضایت در مورد ایجاد خرابی پیش‌رونده نیاز به درنظرگرفتن دوران کلیه‌ی لولاها در یک زمان واحد است، اما نشان دادن

جدول ۳. معیار پذیرش خرابی پیش‌رونده براساس (GSA ۲۰۰۳) و (UFC [۱۶]۱۵).

مؤلفه	دوران (رادیان) (UFC ۲۰۰۹)	دوران (سطح عملکرد) (GSA ۲۰۰۳)
CP	٪/۲۱	تیر فولادی
(آستانه‌ی فروریزش) (ایمنی جانی) LS	٪/۲۱	ستون فولادی



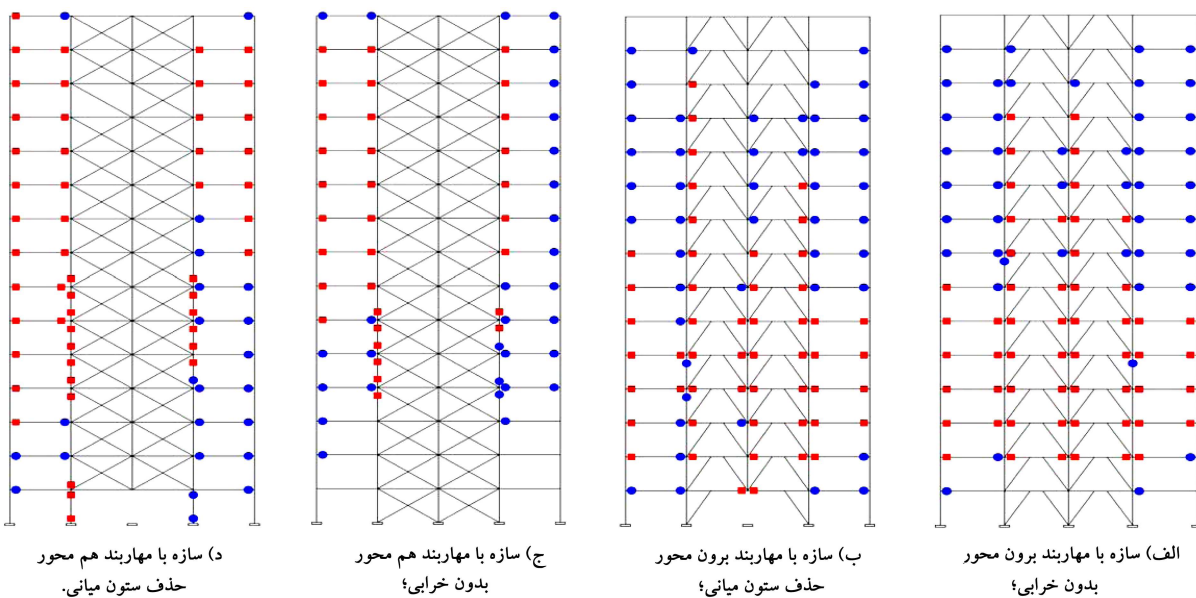
شکل ۳. روند شکل‌گیری لولاها در سازه‌ی سالم و آسیب‌دیده با قاب خمشی ویژه تحت اثر زلزله‌های مقایسه شده.

تعداد طبقات، اختلاف لولاهای شکل‌گرفته با سطح عملکرد اینمی جانی در حالت سالم و خسارت دیده کم شده است. به عنوان مثال در حالی که در اثر حذف ستون میانی در مدل ۵ طبقه، ۰.۵٪ به لولاهای با سطح عملکرد اینمی جانی اضافه شده است، این مقدار برای مدل ۱۵ طبقه با همین تعداد دهانه فقط ۰.۱٪ است.

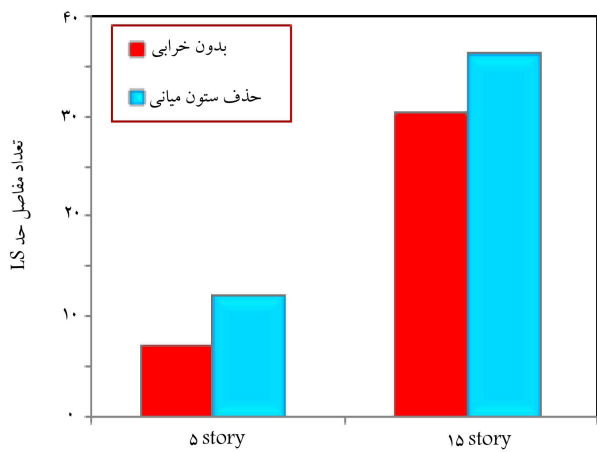
شکل ۶، نحوه‌ی شکل‌گیری این لولاهای در حالت سازه‌ی سالم و سازه با حذف ستون میانی و مهاربندهای مجاور را به ترتیب در سیستم‌های قاب خمشی ویژه به همراه مهاربند هم محور ضربدری و قاب خمشی ویژه به همراه مهاربند برون محور در سازه‌ی ۱۵ طبقه نشان می‌دهند. از شکل‌گیری لولاهای در سازه‌های با مهاربند ضربدری ملاحظه می‌شود که در دهانه‌ی مهاربندی شده که ستون آن حذف شده است، سطح عملکرد تغییری نکرده و در عوض، افزایش دوران‌ها به دهانه‌ی مجاور مستقل شده است. در سازه‌های مهاربند برون محور نیز سطح عملکرد از حد اینمی جانی تجاوز نکرده است. بنابراین هیچ نگرانی در برابر ایجاد خرابی پیش‌روند و وجود نخواهد داشت. ملاحظه می‌شود در سازه‌های آسیب‌دیده با مهاربند ضربدری عموماً با افزایش تعداد لولاهای با سطح عملکرد اینمی جانی مواجه هستیم، در حالی که در سیستم با مهاربند برون محور شاهد کاهش تعداد لولاهای با سطح عملکرد اینمی جانی هستیم. هم‌چنین در سیستم با مهاربند هم محور، مفاصل بیشتری در ستون‌ها نسبت به سیستم با مهاربند برون محور شکل می‌گیرد. بنابراین برتری نسبی سیستم با مهاربند برون محور در برابر سیستم با مهاربند ضربدری مشهودتر می‌شود.

## ۶. نتیجه‌گیری

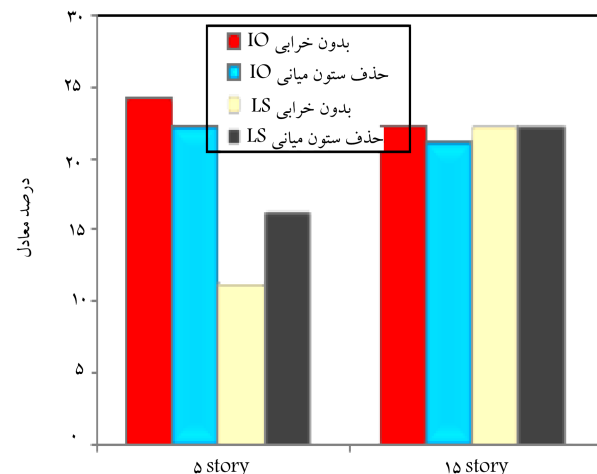
در این پژوهش تحلیل‌های تاریخچه‌ی زمانی روی مدل‌های سه بعدی در سازه‌های فولادی با سیستم قاب خمشی ویژه، قاب خمشی ویژه با مهاربند هم محور و قاب خمشی ویژه با مهاربند برون محور صورت گرفته است. در نتایج ارائه شده از بیشینه‌ی مقدار ۳ شتاب‌نگاشت مقیاس شده براساس استاندارد ۲۸۰۰ استفاده شده است. نتایج به دست آمده به این شرح است:



شکل ۶. روند شکل‌گیری مفاصل در قاب خمشی ویژه ۱۵ طبقه با مهاربند هم محور و برون محور تحت اثر زلزله‌های مقیاس شده.



شکل ۴. تعداد لولاهای با سطح عملکرد اینمی جانی در دهانه‌ی که ستون زیر آن حذف شده است.



شکل ۵. درصد لولاهای شکل‌گرفته در تیر و ستون قاب پیرامونی سیستم قاب خمشی ویژه.

- سیستم‌های بادبندی نمی‌گذارد. بنابراین نتایجی که از مقایسه‌ی تغییرمکان نسبی طبقات سازه‌های سالم و آسیب‌دیده به دست می‌آید، نشان از برتری سیستم قاب خمشی ویژه به همراه مهاربند بروون محور دارد.
- از شکل‌گیری لولاهای در هنگام ایجاد خرابی موضعی می‌توان مشاهده کرد که هر چند تعداد لولاهای با سطح عملکرد اینمی جانی در سازه‌های خسارت‌دیده افزایش می‌باشد، لکن از آنجایی که دوران لولاهای پلاستیک نسبت به حالت حدی ایجاد خرابی پیش‌رونده خیلی کوچک‌تر است، علی‌رغم کمبود تعداد مدل‌ها می‌توان مطمئن شد که در هنگام ایجاد خرابی موضعی در طبقه‌ی پایینی در یک ستون و مهاربندی‌های مجاور در سیستم‌های فولادی طراحی شده براساس الزامات ویژه‌ی لرزه‌یی، پتانسیل ایجاد خرابی پیش‌رونده وجود ندارد.
- نتیجه‌ی کلی این است که سازه‌های طراحی شده با مشخصات ویژه براساس دستورالعمل‌ها و راهنمایی‌های معتبر، در هنگام رویارویی با یک خسارت موضعی شامل حذف یک ستون و یا یک ستون به همراه مهاربندی‌های مجاور، از حاشیه‌ی امنیت مناسبی برخوردار هستند. همچنین برتری مدل‌های سازه‌یی با مهاربند بروون محور در مقابله با خرابی پیش‌رونده مشهود است.

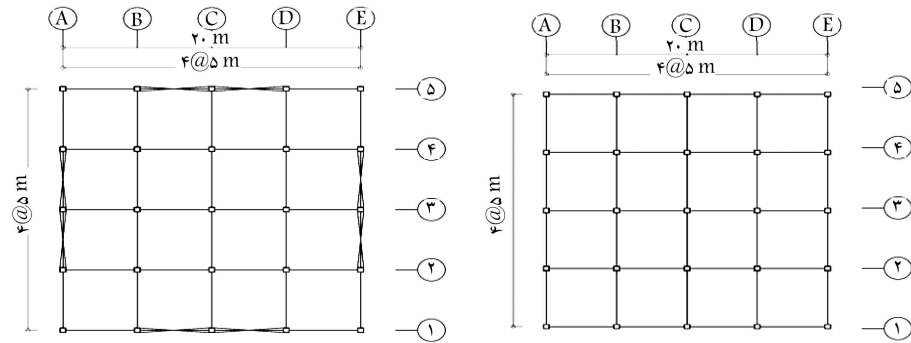
• موقعیت خسارت ایجادشده تأثیر قابل ملاحظه‌یی در عملکرد لرزه‌یی سازه‌ها می‌گذارد. نتایج تحلیل‌ها روی سیستم قاب‌های خمشی ویژه نشان می‌دهد که افزایش تغییرمکان نسبی بیشینه در موقعیت حذف ستون کناری ملموس‌تر است. بنابراین در سیستم قاب خمشی بدون مهاربند، حذف ستون کناری نامطلوب‌تر است؛ در حالی که در سیستم‌های دوگانه، حذف ستون‌های متصل به مهاربند، که سبب حذف مهاربند‌ها می‌شود، نتایج مخرب‌تری را منجر می‌شوند.

• با افزایش تعداد طبقات، حساسیت سازه به از دست‌رفتن یک عضو کاهش می‌پاید و سازه در برابر ایجاد خرابی پیش‌رونده مقاوم‌تر می‌شود. زیرا در قاب‌ها با تعداد طبقات بیشتر به هنگام خرابی موضعی، المان‌های سازه‌یی بیشتری وجود دارد و این موضوع موجب تقویت کنش زنجیره‌یی اعضاء جهت حمل و انتقال بار و هم‌چنین تثیت فوری وضعيت به وجود آمده می‌شود.

• با بررسی تغییرمکان نسبی به خصوص در طبقه‌ی اول روشن است که سیستم با مهاربند ضربه‌بری افت مقاومت شدیدی را در اثر حذف مهاربند‌ها نشان می‌دهد و مشخص است که حذف ستون کناری به تنها‌ی تأثیر قابل ملاحظه‌یی را در

## منابع (References)

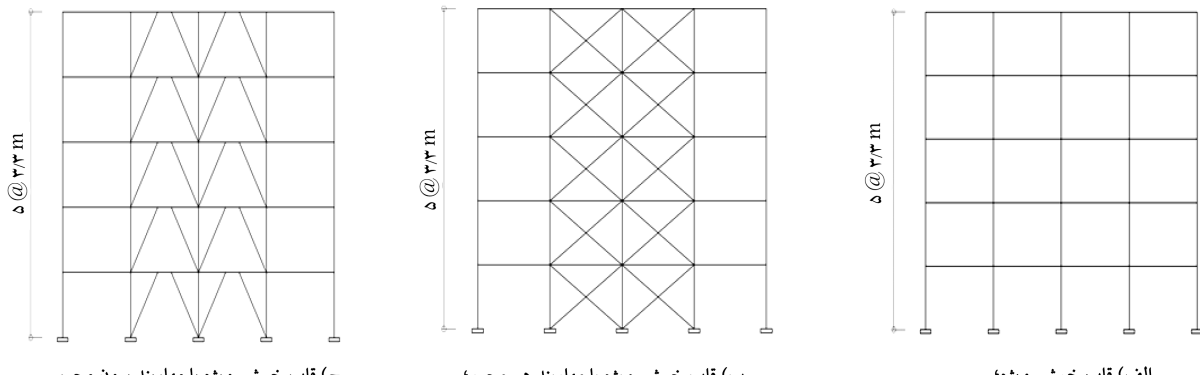
1. Menchel, K. "Progressive collapse: Comparison of main standards, formulation and validation of new computational procedures", PhD. Thesis Universite Libre de Bruxelles, Belgium (2008).
2. Wibowo, H. and Lau, D.T. "Seismic progressive collapse qualitative point of view", *Civil Engineering Dimension*, **11**(1), pp. 8-14 (2009).
3. Kim, J. and Kim, T. "Assessment of progressive collapse-resisting capacity of steel moment frames", *Journal of Constructional Steel Research*, **65**(1), pp. 169-179 (2009).
4. Kim, T. and Kim, J. "Collapse analysis of steel moment frames with various seismic connections", *Journal of Constructional Steel Research*, **65**(6), pp. 1316-1322 (2009).
5. Kim, J. and An, D. "Evaluation of progressive collapse potential of steel moment frames considering catenary action", *The Structural Design of Tall and Special Buildings*, **18**(4), pp. 455-465 (2009).
6. Kapil, K. and El-Tawil, S. "Effect of retrofit strategies on mitigating progressive collapse of steel frame structures", *Journal of Constructional Steel Research*, **66**(4), pp. 520-531 (2010).
7. Min, L. "Progressive collapse design of seismic steel frames using structural optimization", *Journal of Constructional Steel Research*, **67**(3), pp. 322-332 (2011).
8. Tavakoli, H.R. and Kiakojouri, F. "Numerical study of progressive collapse in framed structures: A new approach for dynamic column removal", *International Journal of Engineering*, **26**(7), pp. 685-692 (2013).
9. Tavakoli, H.R. and Rashidi, A. "Evaluation of progressive collapse potential of multi-story moment resisting steel frame buildings under lateral loading", *Sharif University of Technology, Scientia Iranica*, **20**(1), pp. 77-86 (2013).
10. Iranian Building Code (10th Code), *Design and Construction of Steel Buildings*, National Regulations, Iran (2008).
11. Iranian Building Code (2800 Code), *Seismic Resistant Design of Buildings*, Iran (2008).
12. <http://www.Csiberkeley.com/perform3d/overview> (accessed: 15 March 2012).
13. FEMA356, *Commentary on the Guidelines for the Seismic Rehabilitation of Buildings*, Federal Emergency Management Agency, Washington (DC) (1997).
14. <http://www.peer.berkeley.edu/smcat> (accessed: 3 October 2011).
15. GSA, *Progressive Collapse Analysis and Design Guidelines for New Federal Office Buildings and Major Modernization Projects*, The U.S. General Services Administration (2003).
16. Unified Facilities Criteria (UFC), *Design of Buildings to Resist Progressive Collapse*, Department of Defense (2009).



ب) سیستم دو گانه.

الف) قاب خمثی ویژه؛

شکل پ.۱. پلان مدل‌های سازه‌ی.



ج) قاب خمثی ویژه با مهاربند برون محور؛

ب) قاب خمثی ویژه با مهاربند هم محور؛

الف) قاب خمثی ویژه؛

شکل پ.۲. نمای مدل‌های سازه‌ی.

جدول پ.۱. مشخصات اجزاء سازه‌ی با سیستم قاب خمثی ویژه.

قطعه	قطعه ستون (cm)	قطعه تیرهای درونی	قطعه تیرهای پیرامونی	طبقه
سازه‌ی ۵ طبقه‌ی ۴ دهانه				
Box ۳۵×۳۵×۱	W۱۴×۲۶	W۱۲×۱۹		۴، ۳، ۲، ۱
Box ۲۵×۲۵×۱	W۱۲×۱۹	W۱۰×۱۷		۵
سازه‌ی ۱۵ طبقه‌ی ۴ دهانه				
Box ۵۵×۵۵×۲	W۲۱×۴۴	W۱۸×۳۵		۵، ۴، ۳، ۲، ۱
Box ۴۵×۴۵×۱/۵	W۲۱×۴۴	W۱۸×۳۵		۱۰، ۹، ۸، ۷، ۶
Box ۴۰×۴۰×۱/۵	W۱۶×۳۱	W۱۲×۱۹		۱۳، ۱۲، ۱۱
Box ۳۵×۳۵×۱	W۱۴×۲۲	W۱۰×۱۷		۱۵، ۱۴

جدول پ. ۲. مشخصات اجزاء سازه‌ی با سیستم‌های دوگانه‌ی قاب خمشی ویژه و مهاربند.

طبقه	قطعه در دهانه‌های بادبندی	قطعه از دهانه‌های بادبندی درونی	قطعه تیرهای پیرامونی از دهانه‌های بادبندی	قطعه تیرهای پیرامونی به غیر	قطعه ستون (cm)	قطعه تیرهای پیرامونی
سازه‌ی ۱۵ طبقه‌ی ۴ دهانه با سیستم دوگانه‌ی قاب خمشی ویژه و مهاربند ضربدری						
۳ و ۲۰	۲UNP۲۴	Box ۴۰×۴۰×۱/۵	W۱۴×۲۶	W۱۴×۲۶	W۸×۱۵	Box ۴۰×۴۰×۱/۵
۶ و ۵.۹	۲UNP۲۴	Box ۳۵×۳۵×۱/۲	W۱۴×۲۶	W۱۴×۲۶	W۸×۱۵	Box ۳۵×۳۵×۱/۲
۸ و ۷	۲UNP۱۸	Box ۳۵×۳۵×۱	W۱۴×۲۶	W۱۴×۲۶	W۸×۱۵	Box ۳۵×۳۵×۱
۱۰ و ۹	۲UNP۱۶	Box ۳۵×۳۵×۱	W۱۴×۲۶	W۱۴×۲۶	W۸×۱۵	Box ۳۵×۳۵×۱
۱۲ و ۱۱	۲UNP۱۲	Box ۳۵×۳۵×۱	W۱۴×۲۶	W۱۴×۲۶	W۸×۱۵	Box ۳۵×۳۵×۱
۱۴ و ۱۳	۲UNP۱۰	Box ۳۵×۳۵×۱	W۱۴×۲۶	W۱۴×۲۶	W۸×۱۵	Box ۳۵×۳۵×۱
۱۵	۲UNP۱۰	Box ۲۵×۲۵×۱	W۱۲×۱۹	W۱۲×۱۹	W۸×۱۵	Box ۲۵×۲۵×۱
سازه‌ی ۱۵ طبقه‌ی ۴ دهانه با سیستم دوگانه‌ی قاب خمشی ویژه و مهاربند برون محور						
۱	۲UNP۱۲	Box ۴۵×۴۵×۱/۵	W۱۴×۲۶	W۱۴×۲۶	W۱۸×۳۵	Box ۴۵×۴۵×۱/۵
۲ و ۳	۲UNP۱۲	Box ۴۰×۴۰×۱/۵	W۱۴×۲۶	W۱۴×۲۶	W۱۸×۳۵	Box ۴۰×۴۰×۱/۵
۴ و ۵	۲UNP۱۲	Box ۳۵×۳۵×۱/۲	W۱۴×۲۶	W۱۴×۲۶	W۱۸×۳۵	Box ۳۵×۳۵×۱/۲
۷ و ۶	۲UNP۱۲	Box ۳۵×۳۵×۱/۲	W۱۴×۲۶	W۱۴×۲۶	W۱۶×۳۱	Box ۳۵×۳۵×۱/۲
۹ و ۸	۲UNP۱۲	Box ۳۵×۳۵×۱	W۱۴×۲۶	W۱۴×۲۶	W۱۶×۳۱	Box ۳۵×۳۵×۱
۱۱ و ۱۰	۲UNP۱۰	Box ۳۵×۳۵×۱	W۱۴×۲۶	W۱۴×۲۶	W۱۶×۳۱	Box ۳۵×۳۵×۱
۱۲	۲UNP۱۰	Box ۳۵×۳۵×۱	W۱۴×۲۶	W۱۴×۲۶	W۱۲×۱۹	Box ۳۵×۳۵×۱
۱۳	۲UNP۱۰	Box ۳۵×۳۵×۱	W۱۴×۲۶	W۱۲×۱۹	W۱۲×۱۹	Box ۳۵×۳۵×۱
۱۴ و ۱۵	۲UNP۱۰	Box ۳۰×۳۰×۱	W۱۴×۲۶	W۱۲×۱۹	W۱۲×۱۹	Box ۳۰×۳۰×۱